

第5章 离散时间傅立叶变换

本章主要内容:

- 离散时间傅立叶变换
- 常用信号的离散时间傅立叶变换对。
- 离散时间周期信号的傅立叶变换。
- 傅立叶变换的性质。
- 系统的频率响应与系统的频域分析方法。

❖ 注释:

CFS (The Continuous-Time Fourier Series):
连续时间傅立叶级数

DFS (The Discrete-Time Fourier Series):
离散时间傅立叶级数

CTFT (The Continuous-Time Fourier Transform):
连续时间傅立叶变换

DTFT (The Discrete-Time Fourier Transform):
离散时间傅立叶变换

5.0 引言 Introduction

- 本章将采用与讨论CTFT完全相同的思想方法，来研究离散时间非周期信号的频域分解问题。
- DFS与CFS之间既有许多类似之处，也有一些重大差别：主要是DFS是一个有限项级数，其系数 a_k 具有周期性。

❖ 在采用相同方法研究如何从 DFS 引出离散时间非周期信号的频域描述时，可以看到，DTFT与CTFT既有许多相类似的地方，也同时存在一些重要的区别。

❖ 抓住它们之间的相似之处并关注其差别，对于掌握和加深对频域分析方法的理理解具有重要意义。

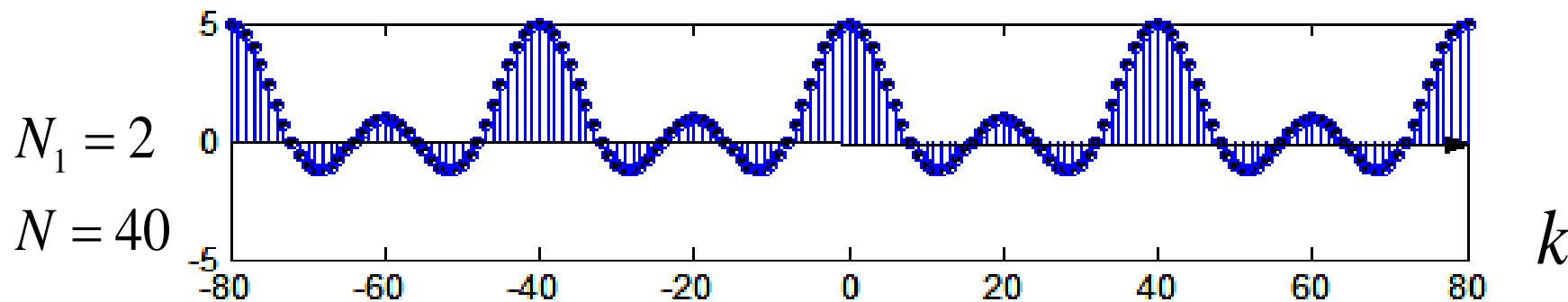
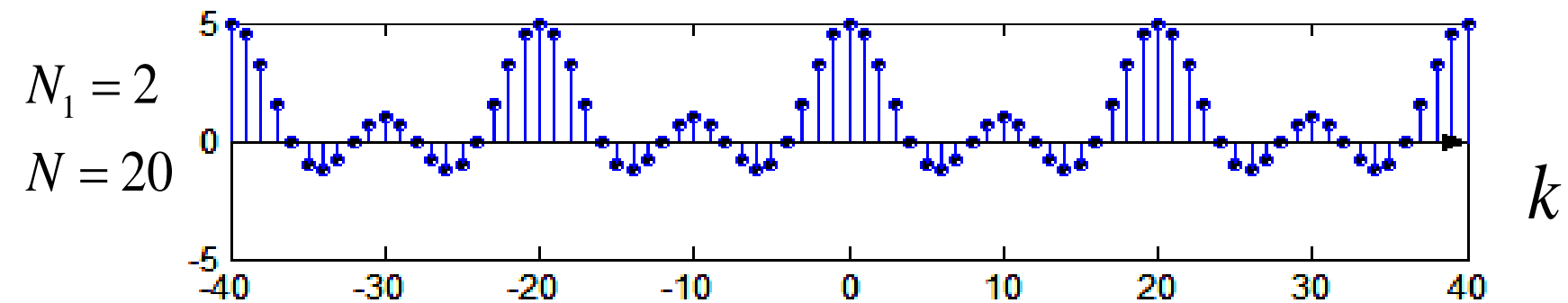
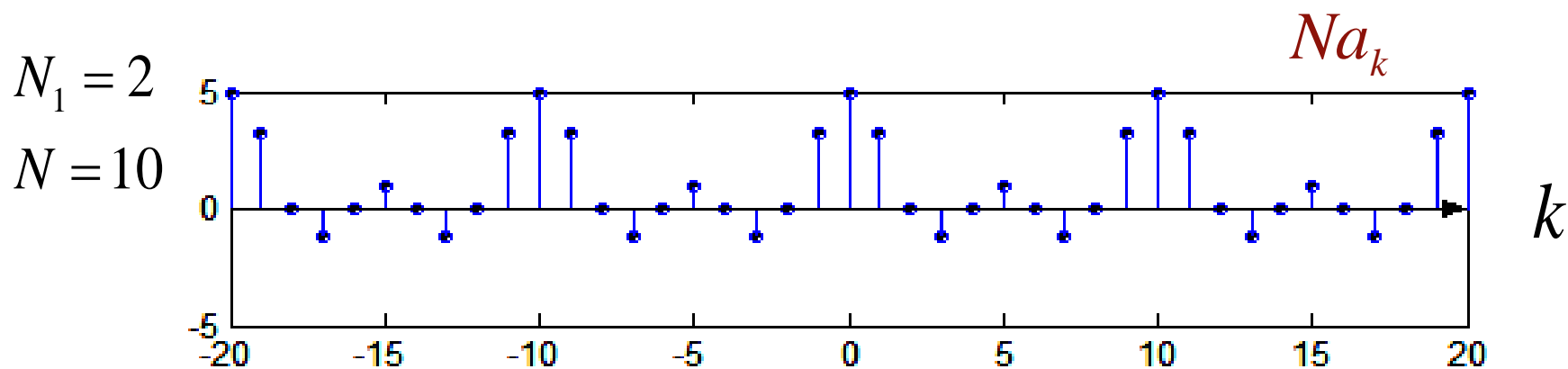
5.1 非周期信号的表示

Representation of Aperiodic Signals: The Discrete-time Fourier Transform

一. 从DFS到DTFT:

在讨论离散时间周期性矩形脉冲信号的频谱时，我们看到：

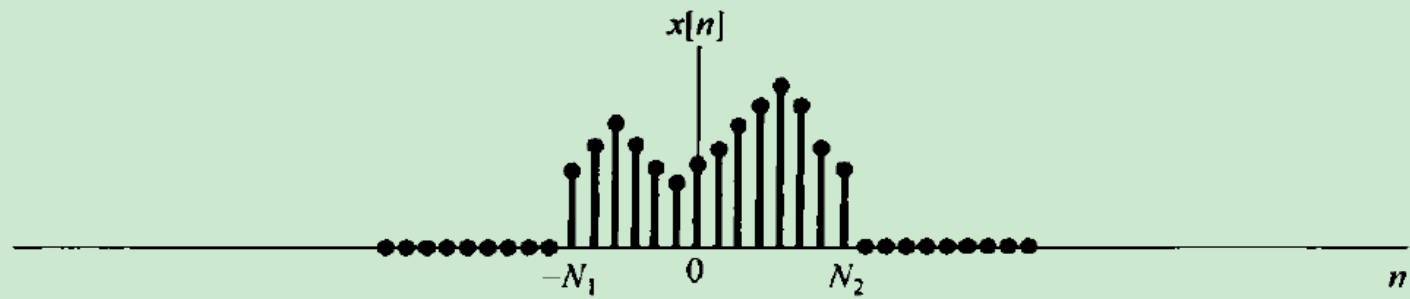
当信号周期 N 增大时，频谱的包络形状不变，幅度减小，而频谱的谱线变密。



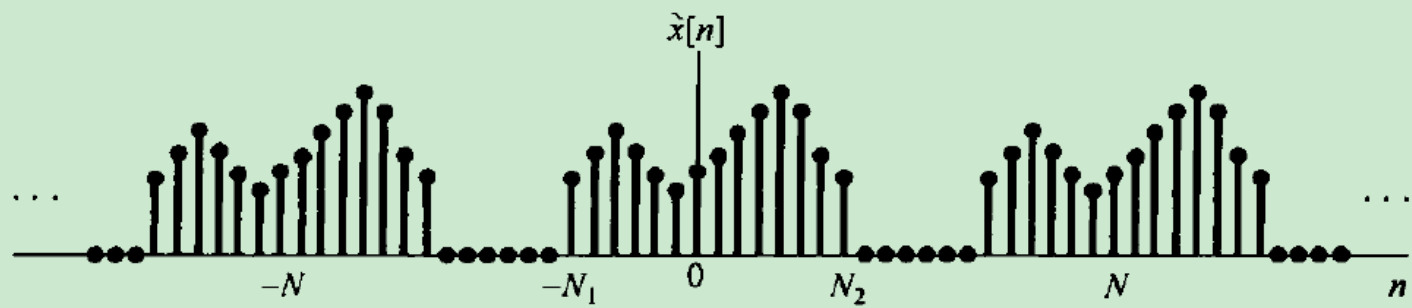
当 $N \rightarrow \infty$ 时，有 $\omega_0 = (2\pi / N) \rightarrow 0$ ，将导致信号的频谱无限密集，最终成为连续频谱。

从时域看，当周期信号的周期 $N \rightarrow \infty$ 时，周期序列就变成了一个非周期的序列。

因此，可以预见，对一个非周期信号，它的频谱应该是一个连续的频谱。



(a)



(b)

对周期信号 $x[n]$ 由DFS有

$$x[n] = \sum_{k=\langle N \rangle} a_k e^{j\frac{2\pi}{N}kn}, \quad a_k = \frac{1}{N} \sum_{n=\langle N \rangle} x[n] e^{-j\frac{2\pi}{N}kn}$$

即

$$a_k = \frac{1}{N} \sum_{n=-N/2}^{N/2} x[n] e^{-j\frac{2\pi}{N}kn}$$

当 $N \rightarrow \infty$ 时, $\frac{2\pi}{N}k \rightarrow \omega$

有: $X(e^{j\omega}) = \sum_{n=-\infty}^{\infty} x[n] e^{-j\omega n}$ —— DTFT

说明: 显然 $X(e^{j\omega})$ 对 ω 是以 2π 为周期的。

Discrete-Time Fourier Transform

- The DTFT $X(e^{j\omega})$ of a sequence $x[n]$ is a continuous function of ω
- It is also a periodic function of ω with a period 2π :

$$X(e^{j(\omega_o + 2\pi k)}) = \sum_{n=-\infty}^{\infty} x[n] e^{-j(\omega_o + 2\pi k)n}$$

$$= \sum_{n=-\infty}^{\infty} x[n] e^{-j\omega_o n} e^{-j2\pi kn} = \sum_{n=-\infty}^{\infty} x[n] e^{-j\omega_o n} = X(e^{j\omega_o})$$

将其与 a_k 表达式比较有

$$a_k = \frac{1}{N} X(e^{j\omega}) \Big|_{\omega = \frac{2\pi}{N}k}$$

$$\begin{aligned} \text{于是: } \mathcal{X}[n] &= \frac{1}{N} \sum_{k=\langle N \rangle} X(e^{jk\omega_0}) \cdot e^{jk\omega_0 n}, \quad \omega_0 = \frac{2\pi}{N} \\ &= \frac{1}{2\pi} \sum_{k=\langle N \rangle} X(e^{jk\omega_0}) \cdot e^{jk\omega_0 n} \cdot \omega_0 \end{aligned}$$

当 $N \rightarrow \infty$ 时, $\mathcal{X}[n] \rightarrow x[n]$, $k\omega_0 \rightarrow \omega$, $\omega_0 \rightarrow d\omega$, $\sum \rightarrow \int$,

当 k 在一个周期范围内变化时, $k\omega_0$ 在 2π 范围变化, 所以积分区间是 2π 。

$$\therefore x[n] = \frac{1}{2\pi} \int_{2\pi} X(e^{j\omega}) e^{j\omega n} d\omega$$

表明：离散时间序列可以分解为频率在 2π 区间上分布的、幅度为 $\frac{1}{2\pi} X(e^{j\omega}) d\omega$ 的复指数分量的线性组合。

结论：

$$x[n] = \frac{1}{2\pi} \int_{2\pi} X(e^{j\omega}) e^{j\omega n} d\omega$$

$$X(e^{j\omega}) = \sum_{-\infty}^{\infty} x[n] e^{-j\omega n}$$

DTFT
对

二. 常用信号的离散时间傅立叶变换

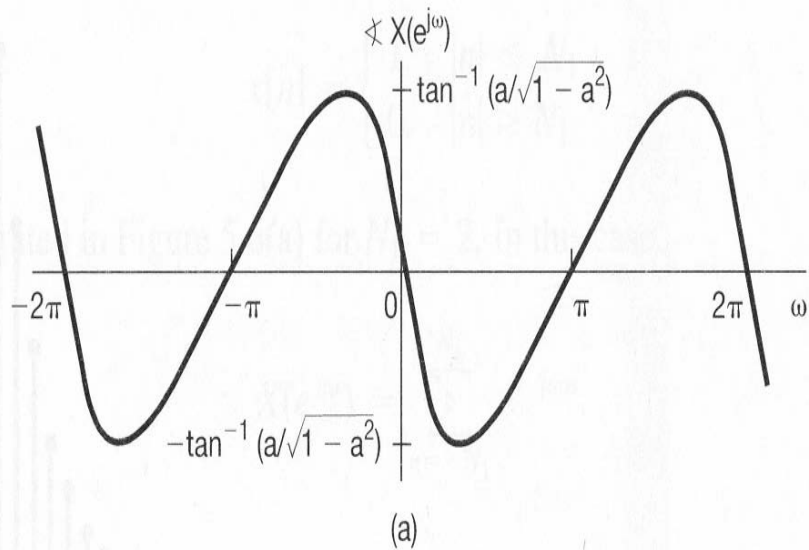
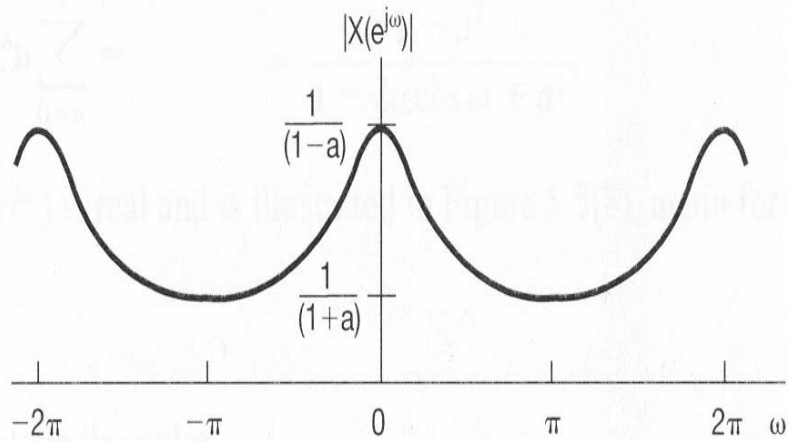
1. $x[n] = a^n u(n), \quad |a| < 1$

$$X(e^{j\omega}) = \sum_{n=0}^{\infty} a^n e^{-j\omega n} = \frac{1}{1 - ae^{-j\omega}}$$

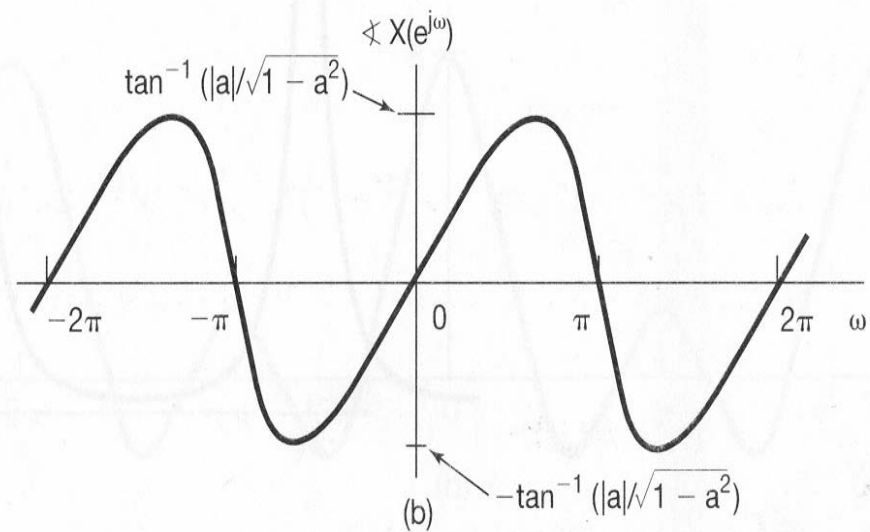
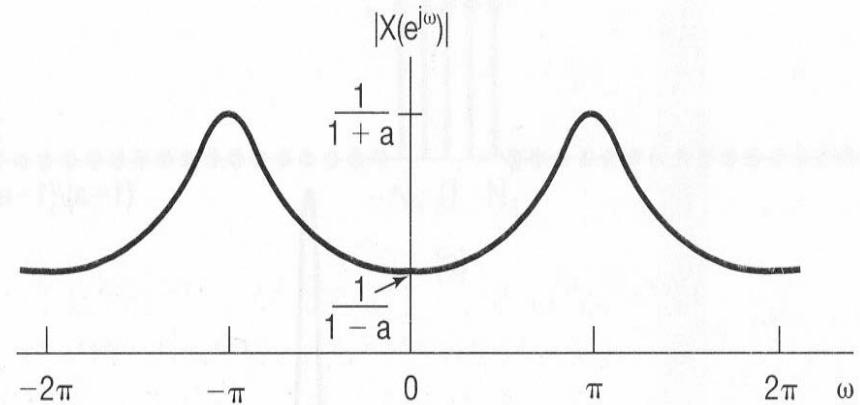
通常 $X(e^{j\omega})$ 是复函数，用它的模和相位表示：

$$\left| X(e^{j\omega}) \right| = \frac{1}{\sqrt{1 + a^2 - 2a \cos \omega}}$$

$$\text{RX}(e^{j\omega}) = -\text{tg}^{-1} \frac{a \sin \omega}{1 - a \cos \omega}$$



$$0 < a < 1$$



$$-1 < a < 0$$

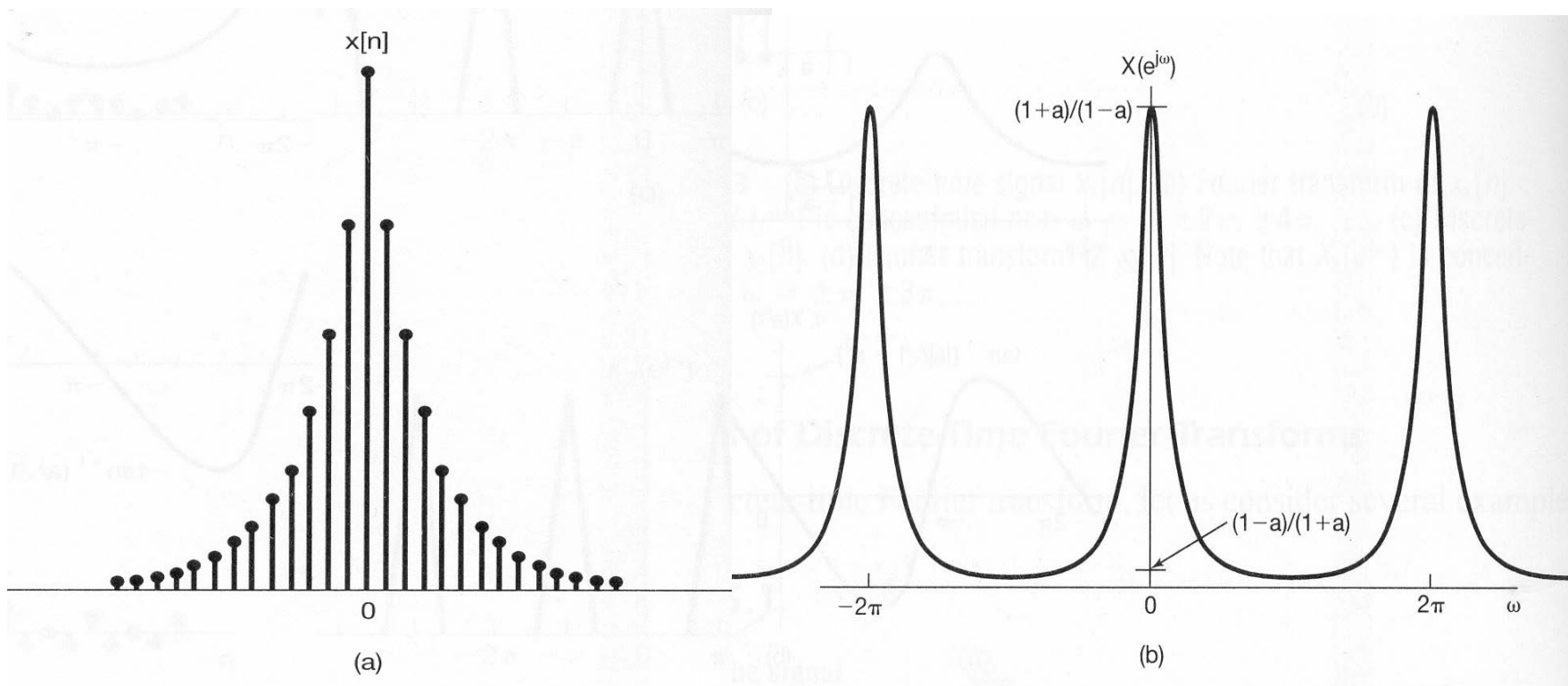
由图可以得到:

$0 < a < 1$ 时, 低频特性, $x[n]$ 单调指数衰减

$-1 < a < 0$ 时, 高频特性, $x[n]$ 摆动指数衰减

2. $x[n] = a^{|n|}, \quad |a| < 1$

$$\begin{aligned} X(e^{j\omega}) &= \sum_{n=-\infty}^{-1} a^{-n} e^{-j\omega n} + \sum_{n=0}^{\infty} a^n e^{-j\omega n} = \sum_{n=1}^{\infty} a^n e^{j\omega n} + \sum_{n=0}^{\infty} a^n e^{-j\omega n} \\ &= \frac{ae^{j\omega}}{1 - ae^{j\omega}} + \frac{1}{1 - ae^{-j\omega}} = \frac{1 - a^2}{1 + a^2 - 2a \cos \omega} \end{aligned}$$



可以得出结论：实偶序列 \longleftrightarrow 实偶函数

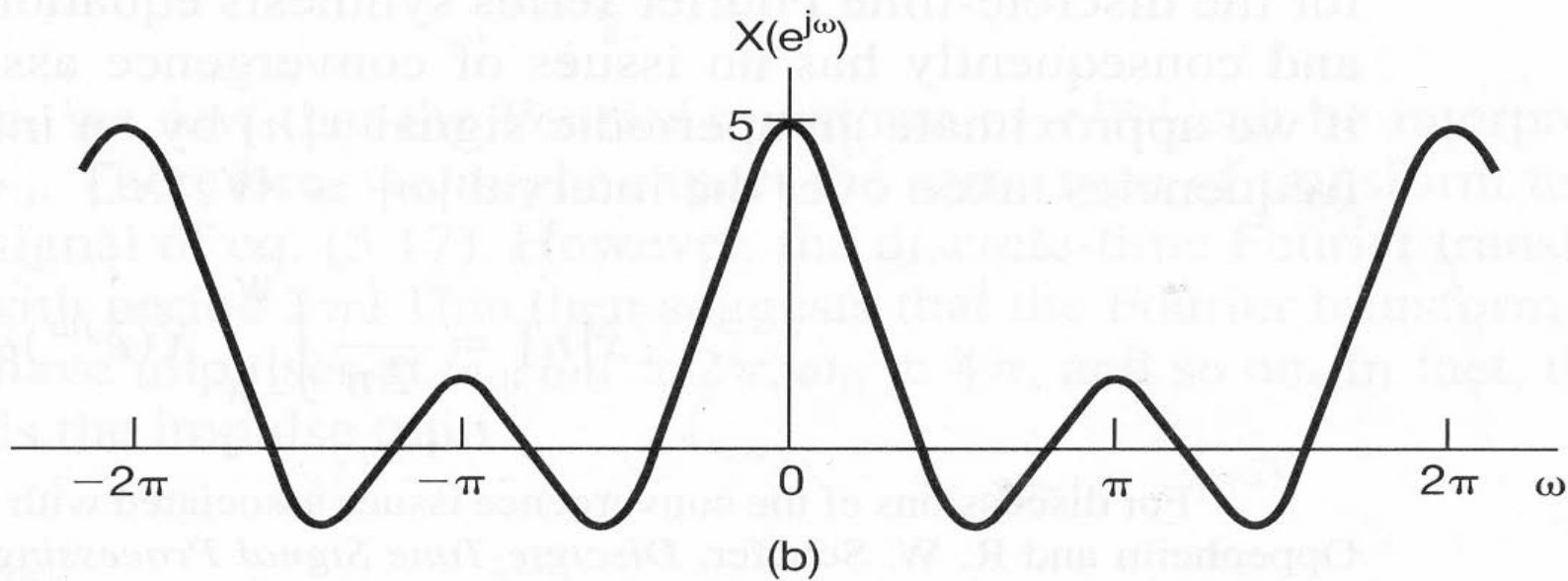
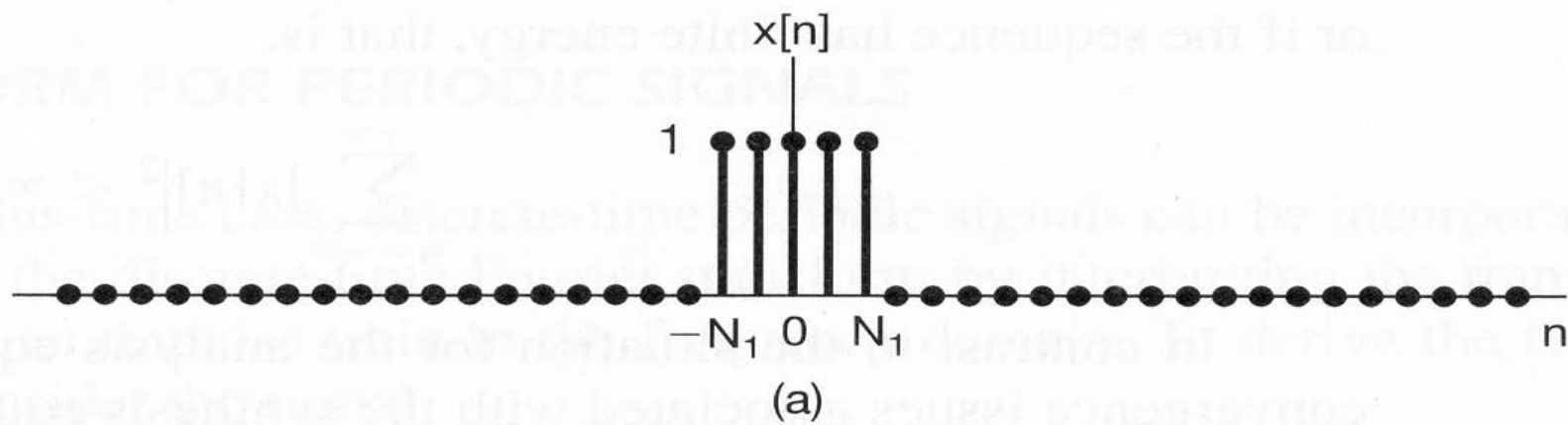
3. 矩形脉冲:

$$x[n] = \begin{cases} 1, & |n| \leq N_1 \\ 0, & |n| > N_1 \end{cases}$$

$$X(e^{j\omega}) = \sum_{n=-N_1}^{N_1} e^{-j\omega n} = \frac{\sin(2N_1 + 1)\frac{\omega}{2}}{\sin \frac{\omega}{2}}$$

有同样的结论: 实偶信号 \longleftrightarrow 实偶函数

当 $N_1 = 2$ 时, 可得到:



两点比较:

1. 与对应的周期信号比较

$$X(e^{j\omega}) = \frac{\sin(2N_1 + 1)\frac{\omega}{2}}{\sin\frac{\omega}{2}}$$

$$a_k = \frac{1}{N} \frac{\sin\frac{\pi}{N}k(2N_1 + 1)}{\sin\frac{\pi}{N}k},$$

显然有

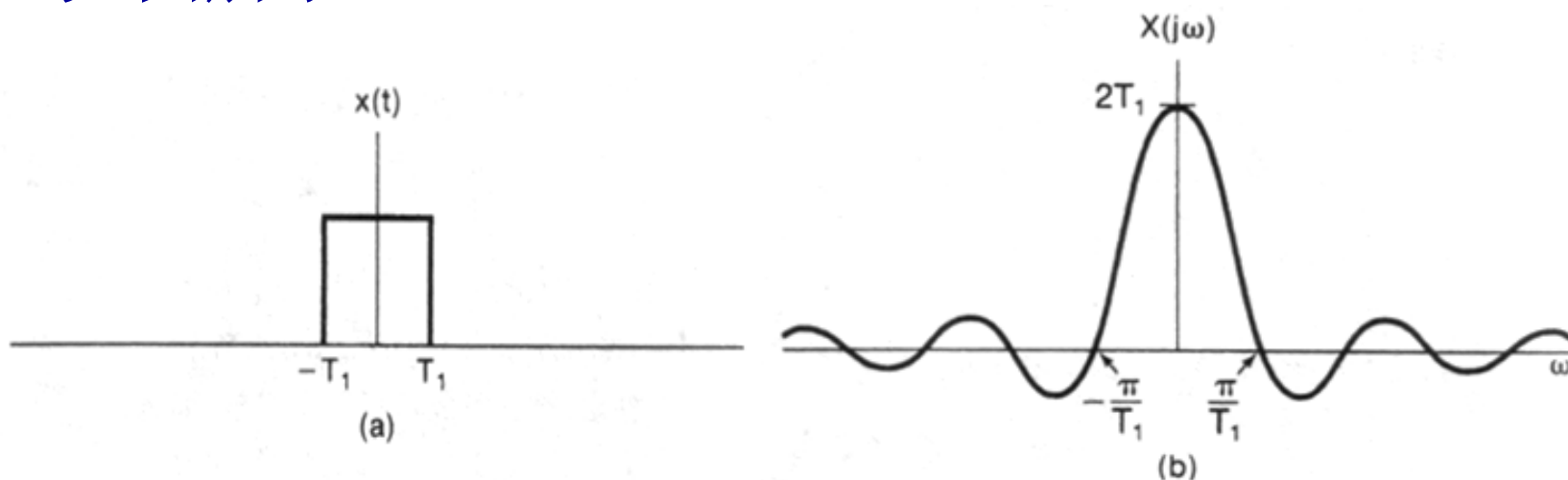
$$a_k = \frac{1}{N} X(e^{j\omega}) \Big|_{\omega=\frac{2\pi}{N}k}$$

关系成立

2. 与对应的连续时间信号比较

$$x(t) = \begin{cases} 1, & |t| < T_1 \\ 0, & |t| > T_1 \end{cases} \quad X(j\omega) = \frac{2T_1 \sin \omega T_1}{\omega T_1}$$

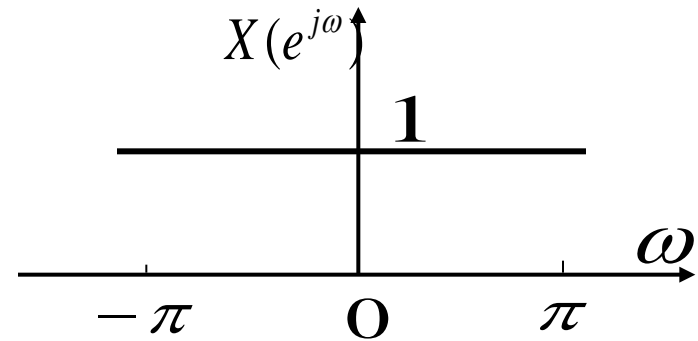
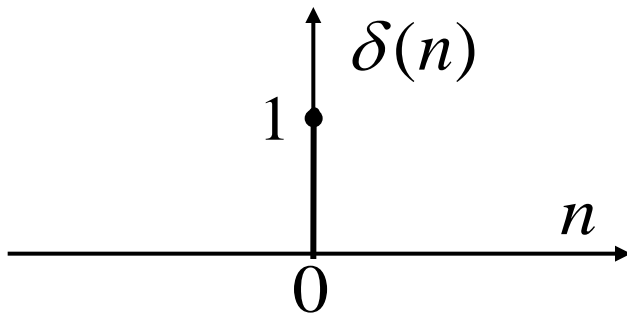
如图所示：



4. $x[n] = \delta[n]$

$$X(e^{j\omega}) = \sum_{n=-\infty}^{\infty} x(n)e^{-j\omega n} = 1$$

如图所示：



三. DTFT的收敛问题

当 $x[n]$ 是无限长序列时，由于 $X(e^{j\omega})$ 的表达式是无穷项级数，当然会存在收敛问题。

1. $\sum_{n=-\infty}^{\infty} |x[n]|^2 < \infty$, 则级数以均方误差最小的准则收敛于 $X(e^{j\omega})$ 。

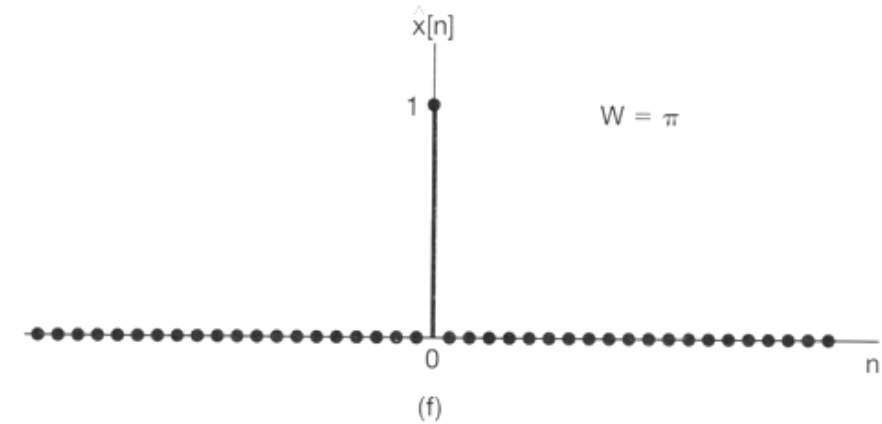
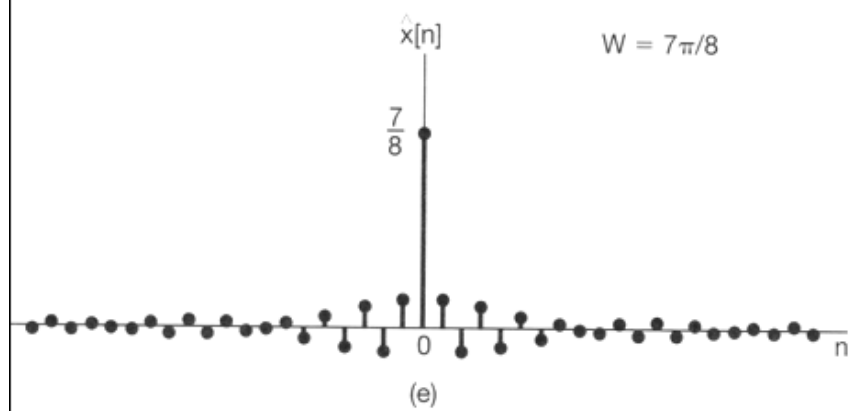
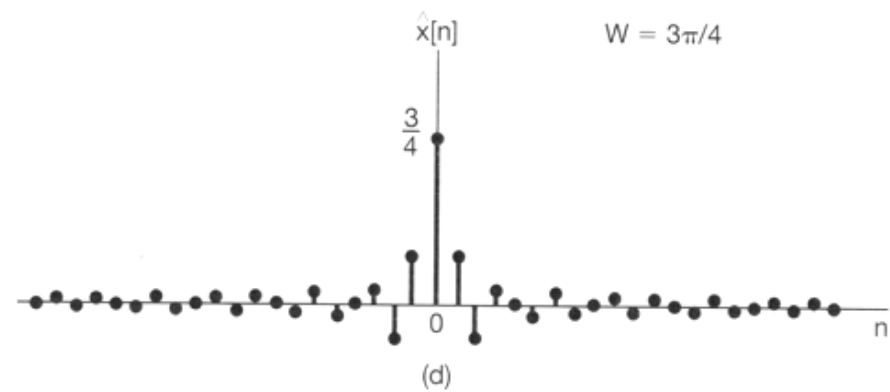
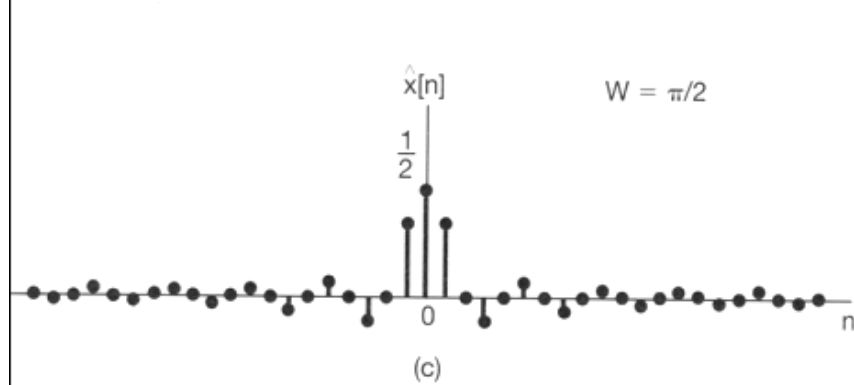
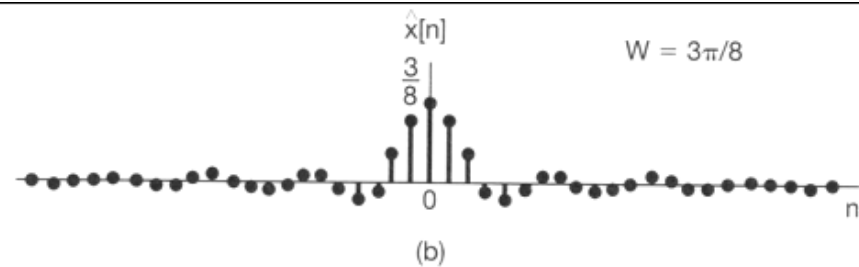
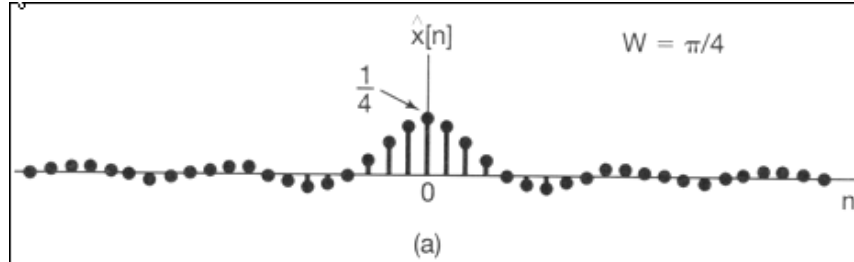
2. $\sum_{n=-\infty}^{\infty} |x[n]| < \infty$, 则 $X(e^{j\omega})$ 存在，且级数一致收敛于 $X(e^{j\omega})$ 。

$$x[n] = \delta[n]$$

$$X(e^{j\omega}) = 1$$

$$\hat{x}[n] = \frac{1}{2\pi} \int_{-W}^W X(e^{j\omega}) e^{j\omega n} d\omega$$

$$\hat{x}[n] = \frac{1}{2\pi} \int_{-W}^W e^{j\omega n} d\omega = \frac{\sin Wn}{\pi n}$$



由图可以得到以下结论：

❖ 当以部分复指数分量之和近似信号时，也会出现起伏和振荡；

❖ 但随着 $W \uparrow$ ， $x(n)$ 的振荡频率变高，起伏的幅度趋小；

❖ 当 $W = \pi$ 时，振荡与起伏将完全消失，不会出现吉伯斯(Gibbs)现象，也不存在收敛问题。

5.2 周期信号的DTFT

The Fourier Transform for Periodic Signals

对连续时间信号，有 $2\pi\delta(\omega - \omega_0) \leftrightarrow e^{j\omega_0 t}$ ，由此推断，对离散时间信号或许有相似的情况。但由于DTFT一定是以 2π 为周期的，因此，频域的冲激应该是周期性的冲激串，即

$$X(e^{j\omega n}) = \sum_{k=-\infty}^{\infty} 2\pi\delta(\omega - \omega_0 - 2\pi k)$$

对其做反变换有：

$$\begin{aligned}
 x[n] &= \frac{1}{2\pi} \int_{-\pi}^{\pi} X(e^{j\omega}) e^{j\omega n} d\omega \\
 &= \int_0^{2\pi} \delta(\omega - \omega_0) e^{j\omega n} d\omega = e^{j\omega_0 n}
 \end{aligned}$$

可见, $\sum_{k=-\infty}^{\infty} 2\pi\delta(\omega - \omega_0 - 2\pi k) \leftrightarrow e^{j\omega_0 n}$

由DFS有 $x[n] = \sum_{k=-\infty}^{\infty} a_k e^{jk\omega_0 n}, \quad \omega_0 = \frac{2\pi}{N}$

因此, 周期信号 $x[n]$ 可用DTFT表示为

$$\begin{aligned}
 x[n] \leftrightarrow X(e^{j\omega}) &= \sum_{k=-\infty}^{\infty} a_k \sum_{l=-\infty}^{\infty} 2\pi\delta(\omega - k\omega_0 - 2\pi l) \\
 &= 2\pi \sum_{k=-\infty}^{\infty} a_k \delta(\omega - \frac{2\pi}{N} k)
 \end{aligned}$$

$$X(e^{j\omega}) = \sum_{l=-\infty}^{\infty} \sum_{k=\langle N \rangle} 2\pi a_k \delta(\omega - \frac{2\pi}{N}k - 2\pi l)$$

$$= \square + \sum_{k=\langle N \rangle} 2\pi a_k \delta(\omega - \frac{2\pi}{N}k) + \sum_{k=\langle N \rangle} 2\pi a_k \delta(\omega - \frac{2\pi}{N}k - 2\pi)$$

$$+ \sum_{k=\langle N \rangle} 2\pi a_k \delta(\omega - \frac{2\pi}{N}k - 4\pi) + \square$$

$$= \square + \sum_{k=0}^{N-1} 2\pi a_k \delta(\omega - \frac{2\pi}{N}k) + \sum_{k=0}^{N-1} 2\pi a_k \delta\left[\omega - \frac{2\pi}{N}(k + N)\right]$$

$$\sum_{k=0}^{N-1} 2\pi a_k \delta\left[\omega - \frac{2\pi}{N}(k + 2N)\right] + \square$$

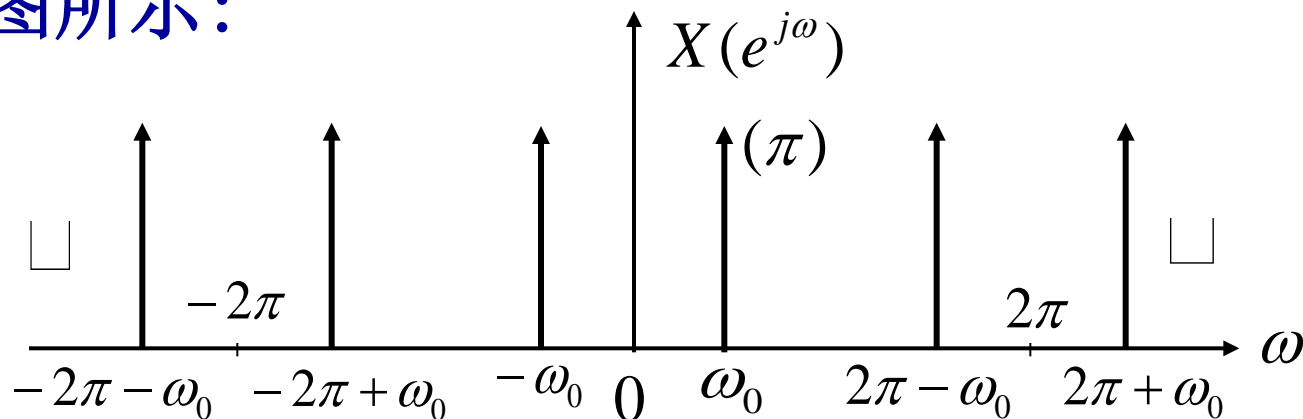
$$\begin{aligned}
&= \square + \sum_{k=0}^{N-1} 2\pi a_k \delta(\omega - \frac{2\pi}{N}k) + \sum_{k=N}^{2N-1} 2\pi a_k \delta(\omega - \frac{2\pi}{N}k) \\
&+ \sum_{k=2N}^{3N-1} 2\pi a_k \delta(\omega - \frac{2\pi}{N}k) + \square \\
&= 2\pi \sum_{k=-\infty}^{\infty} a_k \delta(\omega - \frac{2\pi}{N}k)
\end{aligned}$$

比较：可以看出与连续时间傅立叶变换中相应的形式是完全一致的。

例1. $x[n] = \cos \omega_0 n = \frac{1}{2}(e^{j\omega_0 n} + e^{-j\omega_0 n})$, 它不一定是周期的。当 $\omega_0 = \frac{2\pi}{N}k$ 时才具有周期性。

$$X(e^{j\omega}) = \pi \sum_{k=-\infty}^{\infty} [\delta(\omega - \omega_0 - 2\pi k) + \delta(\omega + \omega_0 - 2\pi k)]$$

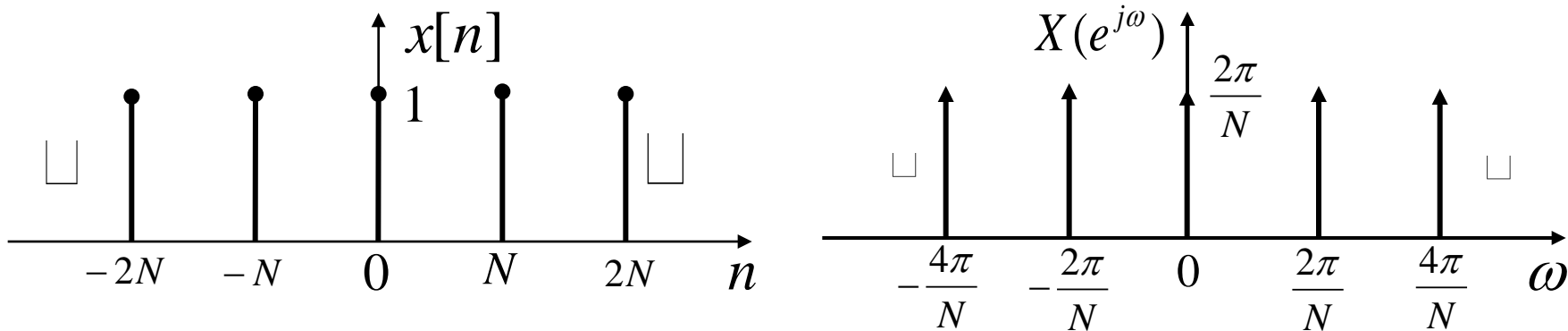
如图所示：



例2. $x[n] = \sum_{k=-\infty}^{\infty} \delta(n - kN)$ ——— 均匀脉冲串

$$a_k = \frac{1}{N} \sum_{n=\langle N \rangle} x(n) e^{-jk\omega_0 n} = \frac{1}{N} \sum_{n=0}^{N-1} \delta(n) e^{-jk\omega_0 n} = \frac{1}{N}$$

$$X(e^{j\omega}) = \frac{2\pi}{N} \sum_{k=-\infty}^{\infty} \delta(\omega - \frac{2\pi}{N} k)$$



比较: 与连续时间情况下对应的相一致。

5.3 离散时间傅立叶变换的性质

Properties of the Discrete-Time Fourier Transform

DTFT也有很多与**CTFT**类似的性质，当然也有某些明显的差别。

通过对**DTFT**性质的讨论，目的在于揭示信号时域和频域特性之间的关系。

一、周期性 (periodic):

若 $x[n] \leftrightarrow X(e^{j\omega})$, 则 $X(e^{j(\omega+2\pi)}) = X(e^{j\omega})$

比较: 这是与**CTFT**不同的。

二. 线性 (linearity):

$$ax_1[n] + bx_2[n] \leftrightarrow aX_1(e^{j\omega}) + bX_2(e^{j\omega})$$

三. 时移与频移 (shifting):

若 $x[n] \leftrightarrow X(e^{j\omega})$, 则

$$x[n - n_0] \leftrightarrow X(e^{j\omega})e^{-j\omega n_0} \quad \text{—— 时移特性}$$

$$x[n]e^{j\omega_0 n} \leftrightarrow X(e^{j(\omega - \omega_0)}) \quad \text{—— 频移特性}$$

四. 时域反转 (reflaction):

$$\text{若 } x[n] \leftrightarrow X(e^{j\omega}), \text{ 则 } x[-n] \leftrightarrow X(e^{-j\omega})$$

五. 共轭对称性 (symmetry properties):

若 $x[n] \leftrightarrow X(e^{j\omega})$, 则 $x^*[n] \leftrightarrow X^*(e^{-j\omega})$

由此可进一步得到以下结论:

1. 若 $x[n]$ 是实信号, 则 $x^*[n] = x[n]$

$$\therefore X^*(e^{-j\omega}) = X(e^{j\omega}), \quad \text{即 } X^*(e^{j\omega}) = X(e^{-j\omega})$$

$$\therefore \begin{cases} |X(e^{j\omega})| = |X(e^{-j\omega})| \\ \text{Re}[X(e^{j\omega})] = \text{Re}[X(e^{-j\omega})] \\ \text{Im}[X(e^{j\omega})] = -\text{Im}[X(e^{-j\omega})] \end{cases}$$

2. 若 $x[n]$ 是实偶信号, 则 $x[n] = x[-n]$,

$$x^*[n] = x[n] \quad \text{Q} \quad x[-n] \leftrightarrow X(e^{-j\omega})$$

于是有: $X(e^{j\omega}) = X(e^{-j\omega}) = X^*(e^{j\omega})$,

即 $X(e^{j\omega})$ 是实偶函数。

3. 若 $x[n]$ 是实奇信号, $x[n] = -x[-n]$, $x^*[n] = x[n]$

于是有: $X(e^{j\omega}) = -X(e^{-j\omega}) = -X^*(e^{j\omega})$,

表明 $X(e^{j\omega})$ 是虚奇函数。

4. 若 $x[n] = x_e[n] + x_o[n]$, 则有:

$$x_e(n) \leftrightarrow \operatorname{Re} \left[X(e^{j\omega}) \right] \quad x_o(n) \leftrightarrow j \operatorname{Im} \left[X(e^{j\omega}) \right]$$

说明: 这些结论与连续时间情况下完全一致。

六. 差分与求和 (Differencing and Accumulation):

$$x[n] - x[n-1] \leftrightarrow (1 - e^{-j\omega}) X(e^{j\omega})$$

$$\sum_{k=-\infty}^n x(k) \leftrightarrow \frac{X(e^{j\omega})}{1 - e^{-j\omega}} + \pi X(e^{j0}) \sum_{k=-\infty}^{\infty} \delta(\omega - 2\pi k)$$

说明: 在DTFT中 $(1 - e^{-j\omega})$ 对应于CTFT中的 $j\omega$ 。

例: $Q \ u[n] = \sum_{k=-\infty}^n \delta(k) \quad \delta[n] \leftrightarrow 1$

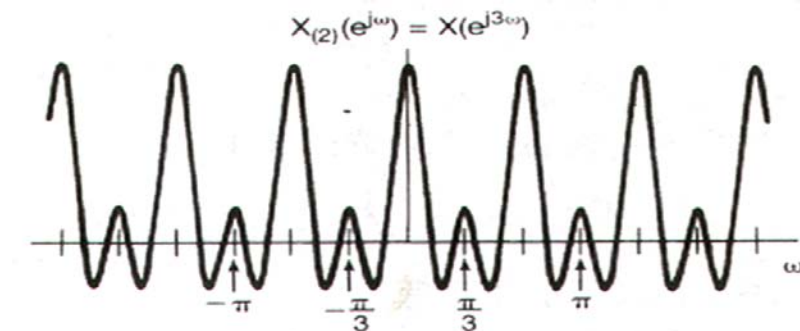
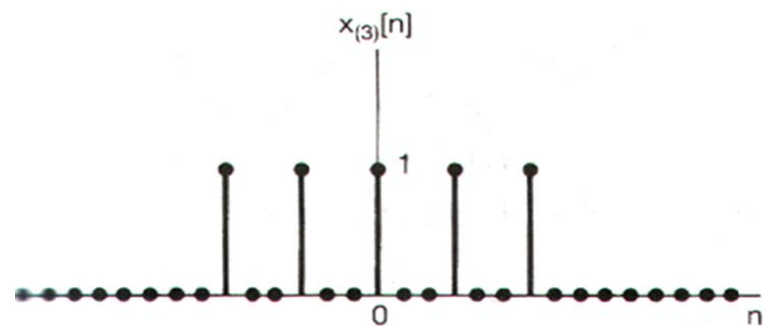
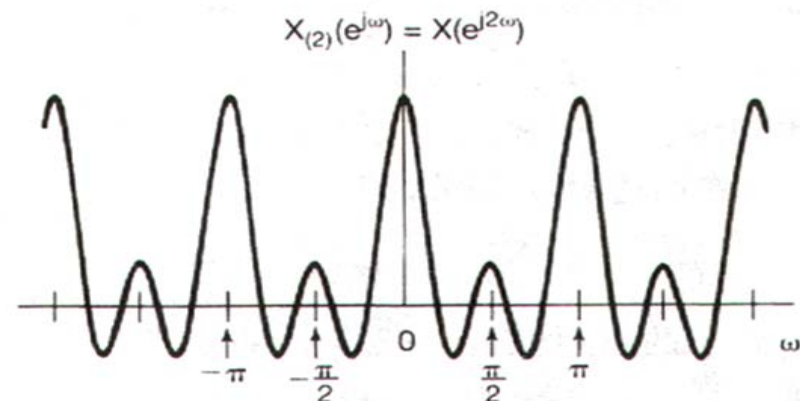
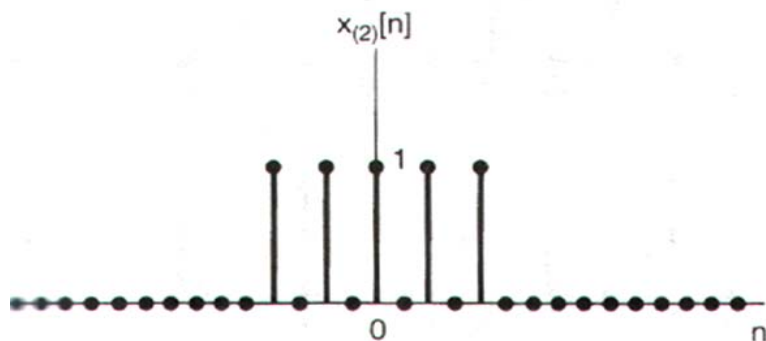
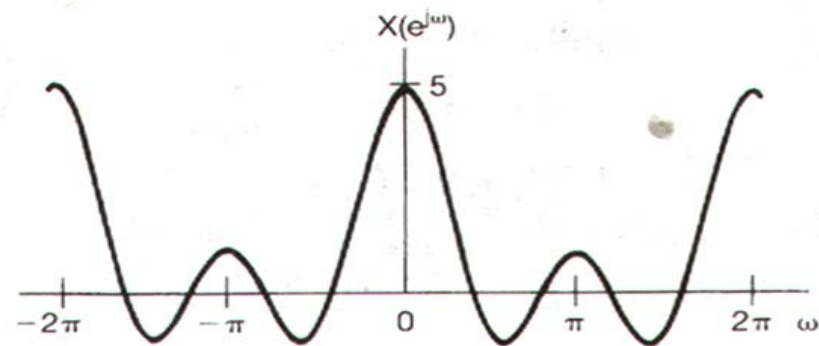
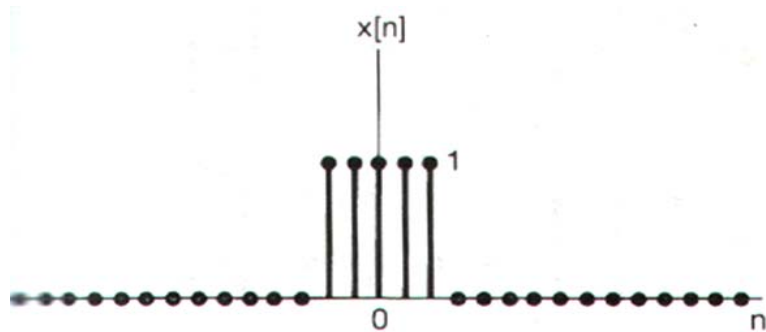
$$\therefore u[n] \leftrightarrow \frac{1}{1 - e^{-j\omega}} + \pi \sum_{k=-\infty}^{\infty} \delta(\omega - 2\pi k)$$

七. 时域扩展 (Interplation):

定义 $x_k[n] = \begin{cases} x[n/k], & n \text{ 为 } k \text{ 的整数倍} \\ 0, & \text{其他 } n \end{cases}$

$$X_k(e^{j\omega}) = \sum_{n=-\infty}^{\infty} x_k[n] e^{-j\omega n} = \sum_{r=-\infty}^{\infty} x_k[rk] e^{-j\omega rk}$$

$$= \sum_{r=-\infty}^{\infty} x[r] e^{-j\omega rk} = X(e^{jk\omega}) \quad \therefore x_k[n] \leftrightarrow X(e^{jk\omega})$$



信号的时域与频域特性之间有一种相反的关系。

八. 频域微分(Differentiation in Frequency):

$$nx[n] \leftrightarrow j \frac{dX(e^{j\omega})}{d\omega}$$

九. Parseval定理:

$$\sum_{n=-\infty}^{\infty} |x[n]|^2 = \frac{1}{2\pi} \int_{2\pi} |X(e^{j\omega})|^2 d\omega$$

$|X(e^{j\omega})|^2$ 称为 $x[n]$ 的能量谱密度函数。

比较: 在DFS中有 $\frac{1}{N} \sum_{n=\langle N \rangle} |x[n]|^2 = \sum_{k=\langle N \rangle} |a_k|^2$

$|a_k|^2$ 称为周期信号的功率谱。

5.4 卷积特性(The Convolution Property)

若 $y[n] = x[n] * h[n]$,

则 $Y(e^{j\omega}) = X(e^{j\omega})H(e^{j\omega})$,

$H(e^{j\omega})$ 即是系统的频率特性。

说明：该特性提供了对LTI系统进行频域分析的理论基础。

例：求和特性的证明

$$\sum_{k=-\infty}^n x(k) = x(n) * u(n)$$

$$\sum_{k=-\infty}^n x(k) \leftrightarrow X(e^{j\omega}) \cdot U(e^{j\omega})$$

$$= X(e^{j\omega}) \cdot \left[\frac{1}{1 - e^{-j\omega}} + \pi \sum_{k=-\infty}^{\infty} \delta(\omega - 2\pi k) \right]$$

$$= \frac{X(e^{j\omega})}{1 - e^{-j\omega}} + \pi X(e^{j0}) \sum_{k=-\infty}^{\infty} \delta(\omega - 2\pi k)$$

5.5 相乘性质 (The Multiplication Property)

如果 $y[n] = x_1[n] \cdot x_2[n]$,

$$\begin{aligned}\text{则 } Y(e^{j\omega}) &= \frac{1}{2\pi} \int_{2\pi} X_1(e^{j\theta}) X_2(e^{j(\omega-\theta)}) d\theta \\ &= \frac{1}{2\pi} X_1(e^{j\omega}) * X_2(e^{j\omega})\end{aligned}$$

由于 $X_1(e^{j\omega})$ 和 $X_2(e^{j\omega})$ 都是以 2π 为周期的,

因此上述卷积称为**周期卷积**。

例： $c[n] = (-1)^n$, $x[n] \longrightarrow \bigotimes \longrightarrow y[n] = x[n] \cdot c[n]$

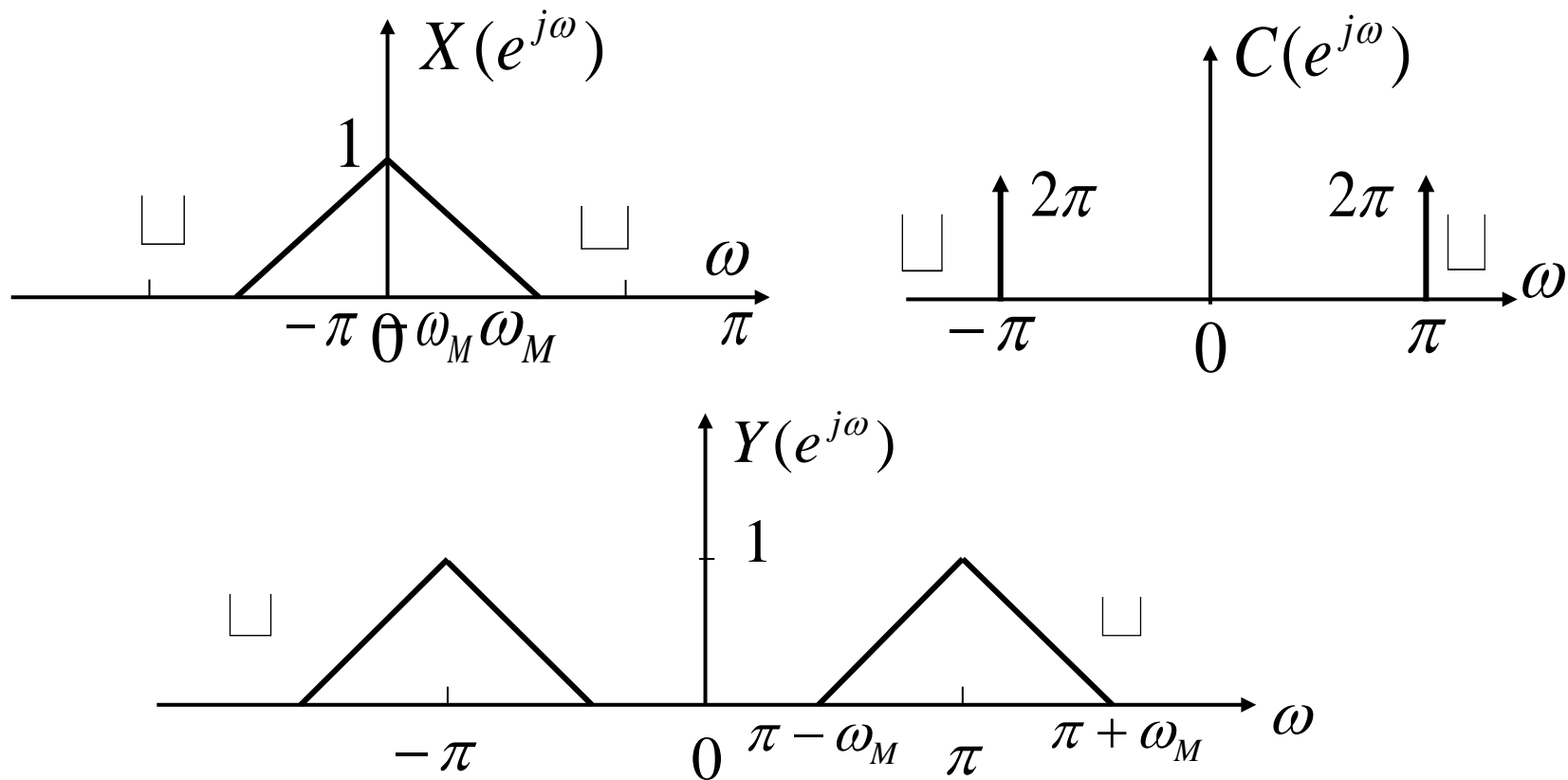
$$c[n] = (-1)^n = e^{j\pi n}$$

$$C(e^{j\omega}) = 2\pi \sum_{k=-\infty}^{\infty} \delta(\omega - \pi - 2k\pi)$$

$$Y(e^{j\omega}) = \frac{1}{2\pi} X(e^{j\omega}) * C(e^{j\omega})$$

$$= \frac{1}{2\pi} \int_{2\pi} X(e^{j\theta}) C(e^{j(\omega-\theta)}) d\theta$$

$$= \int_0^{2\pi} X(e^{j\omega}) \delta(\omega - \pi) d\omega = X(e^{j(\omega-\pi)})$$



5.6 傅立叶变换的性质及基本变换对列表

(自学)

5.7 对偶性 (Duality)

一. DFS的对偶

$$x[n] = \sum_{k=\langle N \rangle} a_k e^{jk\frac{2\pi}{N}n}, \quad a_k = \frac{1}{N} \sum_{n=\langle N \rangle} x[n] e^{-jk\frac{2\pi}{N}n}$$

由于 a_k 本身也是以 N 为周期的序列，当然也可以将其展开成DFS形式。

$$\text{即: } a_k = \sum_{n=\langle N \rangle} \frac{1}{N} x[-n] e^{j\frac{2\pi}{N}kn} \quad \text{或} \quad a_n = \sum_{k=\langle N \rangle} \frac{1}{N} x(-k) e^{j\frac{2\pi}{N}kn}$$

这表明： 序列 a_n 的DFS系数就是 $\frac{1}{N} x(-k)$,

即：

$$\begin{aligned} x[n] &\xleftrightarrow{DFS} a_k \\ a_n &\xleftrightarrow{DFS} \frac{1}{N} x[-k] \end{aligned}$$

利用对偶性可以很方便的将DFS在时域得到的性质，通过对偶得到频域相应的性质。

例1：从时移到频移

$$x[n] \leftrightarrow a_k \quad a_n \leftrightarrow \frac{1}{N} x[-k]$$

利用时移性质有：

$$a_{n-n_0} \leftrightarrow \frac{1}{N} x(-k) e^{-j\frac{2\pi}{N}kn_0}$$

由对偶性有：

$$\frac{1}{N} x[-n] e^{-j\frac{2\pi}{N}Mn} \leftrightarrow \frac{1}{N} a_{-k-M}$$

$$\therefore x[-n] e^{-j\frac{2\pi}{N}Mn} \leftrightarrow a_{-k-M}$$

Q $x[-n] \leftrightarrow a_{-k} \quad \therefore x[n] e^{j\frac{2\pi}{N}Mn} \leftrightarrow a_{k-M}$ 频移特性

例2: 由卷积特性到相乘特性

$$x_1(n) \otimes x_2(n) \leftrightarrow a_k \cdot b_k \cdot N$$

$$a_n \leftrightarrow \frac{1}{N} x_1(-k) \quad b_n \leftrightarrow \frac{1}{N} x_2(-k)$$

由时域卷积性质:

$$a_n \otimes b_n \leftrightarrow \frac{1}{N} x_1(-k) \cdot \frac{1}{N} x_2(-k) \cdot N = \frac{1}{N} x_1(-k) \cdot x_2(-k)$$

由对偶性: $\frac{1}{N} x_1(-n) x_2(-n) \leftrightarrow \frac{1}{N} \sum_{m=\langle N \rangle} a_m b_{-k-m}$

$$\therefore x_1(n) \cdot x_2(n) \leftrightarrow \sum_{m=\langle N \rangle} a_m b_{k-m} = a_k \otimes b_k \quad \text{时域相乘性质}$$

二. DTFT与CFS间的对偶

由 $X(e^{j\omega}) = \sum_{n=-\infty}^{\infty} x(n)e^{-j\omega n}$ 知 $X(e^{j\omega})$ 是一个以 2π 为周期的连续函数，如果在时域构造一个以 2π 为周期的连续时间信号 $X(e^{jt})$ ，则可以将其表示为CFS形式：

这表明：

$$\text{若 } x[n] \xleftrightarrow{DTFT} X(e^{j\omega})$$

$$\text{则 } X(e^{jt}) \xleftrightarrow{CFS} x[-k]$$

利用这一对偶关系，可以将**DTFT**的若干特性对偶到**CFS**中去；或者反之。

例: 从CFS的时域微分到DTFT的频域微分

$$\frac{d}{dt} x(t) \xleftrightarrow{CFS} j \frac{2\pi}{T} k a_k \quad \text{CFS的时域微分特性}$$

若 $x(n) \xleftrightarrow{DTFT} X(e^{j\omega})$, 则 $X(e^{jt}) \xleftrightarrow{CFS} x(-k)$

$$\therefore \frac{d}{dt} X(e^{jt}) \xleftrightarrow{CFS} j \frac{2\pi}{T} k x(-k) = j k x(-k), \quad (T = 2\pi)$$

$$-j n x(n) \leftrightarrow \frac{d}{d\omega} X(e^{j\omega}) \quad \text{DTFT的频域微分特性}$$

例：从CFS的卷积特性到DTFT的相乘特性

$$\begin{aligned}x_1(n) &\xleftrightarrow{DTFT} X_1(e^{j\omega}) & x_2(n) &\xleftrightarrow{DTFT} X_2(e^{j\omega}) \\X_1(e^{jt}) &\xleftrightarrow{CFS} x_1(-k) & X_2(e^{jt}) &\xleftrightarrow{CFS} x_2(-k)\end{aligned}$$

由CFS的卷积特性 $x_1(t) * x_2(t) \leftrightarrow T a_k b_k$

$$X_1(e^{jt}) \otimes X_2(e^{jt}) \xleftrightarrow{CFS} 2\pi x_1(-k)x_2(-k), (T = 2\pi)$$

由对偶性：

$$2\pi x_1(n)x_2(n) \xleftrightarrow{DTFT} X_1(e^{j\omega}) \otimes X_2(e^{j\omega})$$

$$x_1(n)x_2(n) \xleftrightarrow{DTFT} \frac{1}{2\pi} X_1(e^{j\omega}) \otimes X_2(e^{j\omega})$$

——DTFT的相乘特性

可以看出：信号在时域的特性和在频域的特性之间存在以下对应关系：

时域的周期性 \longleftrightarrow 频域的离散性

时域的非周期性 \longleftrightarrow 频域的连续性

时域的离散性 \longleftrightarrow 频域的周期性

时域的连续性 \longleftrightarrow 频域的非周期性

5.8 由LCCDE表征的系统

Systems Characterized by Linear Constant-Coefficient Difference Equations

相当广泛而有用的一类离散时间LTI系统可以由一个线性常系数差分方程（LCCDE）来表征：

$$\sum_{k=0}^N a_k y[n-k] = \sum_{k=0}^N b_k x[n-k]$$

一. 由LCCDE描述的系统的频率响应：

对方程两边进行DTFT变换，可得到：

$$\sum_{k=0}^N a_k y[n-k] = \sum_{k=0}^N b_k x[n-k]$$

$$\sum_{k=0}^N a_k e^{-jk\omega} Y(e^{j\omega}) = \sum_{k=0}^N b_k e^{-jk\omega} X(e^{j\omega})$$

$$H(e^{j\omega}) = \frac{Y(e^{j\omega})}{X(e^{j\omega})} = \frac{\sum_{k=0}^N b_k e^{-jk\omega}}{\sum_{k=0}^N a_k e^{-jk\omega}}$$

可见 $H(e^{j\omega})$ 是一个有理函数。当需要得到 $h[n]$ 时，往往是先从方程得到 $H(e^{j\omega})$ ，进而通过反变换得到 $h[n]$ 。

二. 系统的频率响应：

$H(e^{j\omega})$ 刻画了LTI系统的频域特征，它是系统单位脉冲响应的傅立叶变换。

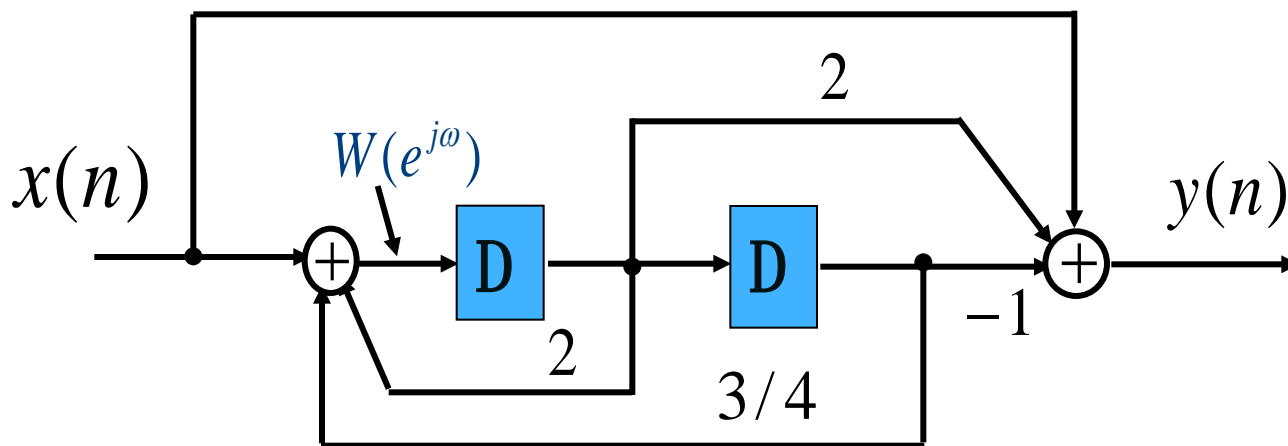
但并非所有的LTI系统都一定存在频率响应。

如果 $\sum_{n=-\infty}^{+\infty} |h[n]| < \infty$ ，则 $H(e^{j\omega})$ 存在。

这说明：稳定系统可以由其频率响应来描述。

由 $H(e^{j\omega})$ 所表征的系统应该是稳定系统。

三. 由方框图描述的系统：



通过对图中两个加法器的输出列方程可得到:

$$W(e^{j\omega}) = X(e^{j\omega}) + 2W(e^{j\omega})e^{-j\omega} + \frac{3}{4}W(e^{j\omega})e^{-j2\omega}$$

$$Y(e^{j\omega}) = X(e^{j\omega}) + 2W(e^{j\omega})e^{-j\omega} - W(e^{j\omega})e^{-j2\omega}$$

由上式可得:

$$X(e^{j\omega}) = (1 - 2e^{-j\omega} - \frac{3}{4}e^{-j2\omega})W(e^{j\omega})$$

$$Y(e^{j\omega}) = (1 - \frac{7}{4}e^{-j2\omega})W(e^{j\omega})$$

$$H(e^{j\omega}) = \frac{Y(e^{j\omega})}{X(e^{j\omega})} = 1 + \frac{2e^{-j\omega} - e^{-j2\omega}}{1 - 2e^{-j\omega} - \frac{3}{4}e^{-j2\omega}}$$

三. LTI系统的频域分析方法:

1. 对输入信号做傅立叶变换, 求得 $X(e^{j\omega})$ 。
2. 根据系统的描述, 求得系统的频率响应 $H(e^{j\omega})$ 。
3. 根据卷积特性得到 $Y(e^{j\omega}) = X(e^{j\omega})H(e^{j\omega})$ 。
4. 对 $Y(e^{j\omega})$ 做傅立叶反变换得到系统的响应 $y(n)$ 。

做傅立叶变换或反变换的主要方法是部分分式展开、利用傅立叶变换的性质和常用的变换对。

5.9 小结 Summary

- ❖ 本章与第4章平行地讨论了DTFT，讨论的基本思路和方法与第4章完全对应，得到的许多结论也很类似。
- ❖ 通过对DTFT性质的讨论，揭示了离散时间信号时域与频域特性的关系。不仅看到有许多性质在CTFT中都有相对应的结论，而且它们也存在一些重要的差别，例如DTFT总是以 2π 为周期的。

❖通过卷积特性的讨论，对LTI系统建立了频域分析的方法。同样地，相乘特性的存在则为离散时间信号的传输技术提供了理论基础。

❖对偶性的讨论为进一步认识连续时间信号、离散时间信号、周期信号与非周期信号频域描述的几种工具之间的内在联系，提供了重要的理论根据。深入理解并恰当运用对偶性，对深刻掌握CFS、DFS、CTFT、DTFT的本质关系有很大帮助。

- 与连续时间LTI系统一样，对由LCCDE或由方框图描述的LTI系统，可以很方便的由方程或方框图得到系统的频率响应函数 $H(e^{j\omega})$ ，进而实现系统的频域分析。其基本过程和涉及到的问题与连续时间LTI系统的情况也完全类似。

随着今后进一步的讨论，我们可以看到CFS、DFS、CTFT、DTFT之间是完全相通的。

对偶性

连续时间周期信号

$$\tilde{x}(t) \leftrightarrow a_k$$

时域
采样

离散时间周期信号

$$\tilde{x}(n) \leftrightarrow a_k$$

$$a_k = \frac{1}{T} X(k \frac{2\pi}{T})$$

频域采样

频域采样

$$a_k = \frac{1}{N} X(k \frac{2\pi}{N})$$

对偶性

连续时间非周期信号

$$x(t) \leftrightarrow X(j\omega)$$

时域
采样

离散时间非周期信号

$$x(n) \leftrightarrow X(e^{j\omega})$$

对偶性